

早稲田大学 大学院 学生員 ○村重 宏
 早稲田大学 理工学部 正員 吉川 秀夫
 東洋大学 工学部 正員 福井 吉孝

1.はじめに

跳水現象は急変流においては、非常に興味深い現象として、今日に至るまで、数多くの研究がなされてきたが、跳水の内部機構に関しては、未だ未知の部分が多い。本稿では、境界層理論に基づいて、跳水の内部機構に関しての考察を行なってみた。

2. 実験方法

実験は、幅7cm、高さ60cm、長さ約2mのアクリル製水路において行なった。底面を滑面およびFig.3に示すような粗面にして、その上でFig.1、2に示すような、一般的な自由跳水および、水面変化のほとんど見られないもぐり跳水を発生させ、任意断面においての流速分布を求めた。特に自由跳水については、境界層のく離を考慮し、ゲート直後で跳水を発生せしめた。本実験の実験範囲内では、境界層のはく離は見られなかったことをここに明記しておく。流速測定はピトー管を用いて行なった。したがって、自由跳水では、水面近くのroller領域は気泡が多く発生するため、この領域内での流速の測定は不可能であった。ピトー管を用いることにより、プレストンの方法で底面せん断応力の測定も可能となるが、これは滑面でしか使用できない。粗面上では、プレストンの方法を応用したHuang & Lauferの方法で測定した。また、自由跳水に関しては、後述する境界層方程式の関係で同時に水深も測定した。

3. 実験結果

流速分布の様形は、Fig.4に示すようになる。任意断面の流速分布形においてFig.4のようにその断面の境界層厚さ δ と主流速 U を定める。 δ および U の分布をFig.5, 6, 7に示した。これは粗面1における自由跳水およびもぐり跳水の結果を用いたものであるが、これより明らかに、自由跳水の方がもぐり跳水よりもじの減衰が大きく、 δ の発達が大きいことがわかる。このような結果は、本研究のすべてのRUNにおいて見られた。実験で得られたデータをもとに、境界層方程式から底面せん断応力をの算定を行なったが、この計算に入れては、次の項を述べることにする。

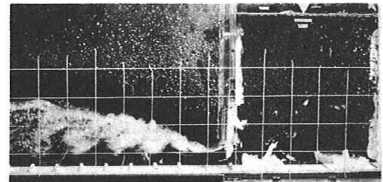


Fig 1 Free Jump

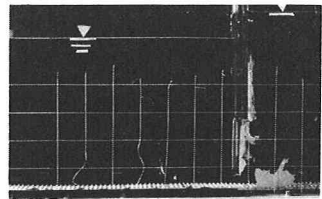


Fig 2 Deeply Submerged Jump

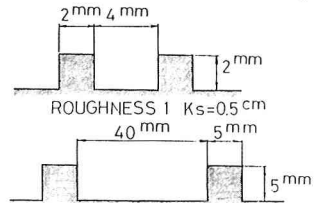


Fig 3 Roughness Details

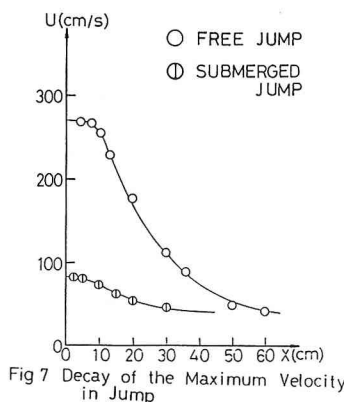
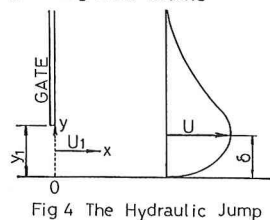


Fig 7 Decay of the Maximum Velocity in Jump

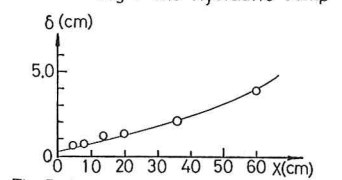


Fig 5 Growth of the Boundary Layer in Free Jump

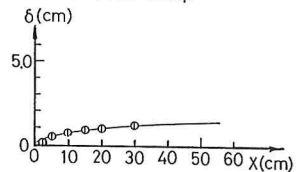


Fig 6 Growth of the Boundary Layer in Submerged Jump

4. 底面せん断応力算定の理論およびその結果

Karman-Prandtlの境界層方程式をもとに、Fig 8の如き仮定のもと、圧力項を水深であるかえ、さらに壁厚 δ および排除厚さ c を、境界層内で流速分布が直線的に従うと仮定のもとに δ で置き換えると、次のよう式が導かれる。

$$\frac{n}{(n+1)(n+2)} \frac{\partial}{\partial x} (U\delta) - \frac{n}{(n+1)(n+2)} U \delta \frac{\partial U}{\partial x} - g \delta \frac{\partial h}{\partial x} = \frac{T_0}{\rho}$$

また、もぐり跳水においては、 $\partial h / \partial x = 0$ として計算する。上式を差分化し、 $1cm$ ごとの U 、 δ (Fig 5, 6)による、および水面形のデータを入力すると、流下方向の T_0 の分布がわかる。計算の一例として、粗面の場合をFig 9, 10に示した。合わせて、 T_0 の実測値を示したが、Fig 9, 10のよう

に、比較的よく合致していることがわかる。

5. 底面せん断応力算定の発展

Rajaratnamは、流下方向の U 、 δ の分布はFig 4内の Y_1 および Y_2 を用いた無次元量、 X/Y_1 、 δ/Y_1 、 U/U_1 によって1つの曲線に乗ることを述べている。本稿でもこれに準じた無次元化を行なったが、 U の減衰は、底面粗度によることがわかった。そこで管高 K 、相当粗度 K_s を用いた無次元量、 $(X/Y_1)(K/K_s)^{1/4}$ を用いると、Fig 11, 12のように1つの曲線に乗る。Rajaratnamは粗度に因して行なった実験データを調べると、Fig 12 の如くこの曲線に乗っていることは非常に興味深い。Fig 13, 14に $X/Y_1 - \delta/Y_1$ のグラフを示した。これらから本実験のデータに関する実験式を得る。

もぐり跳水 $(\delta/Y_1) = 0.263(X/Y_1)^{0.114}$
 $(U/U_1) = 1.808((K/K_s)^{1/4} X/Y_1)^{-0.394}$

自由跳水 $(\delta/Y_1) = 0.148(X/Y_1)^{0.668}$
 $(U/U_1) = 3.303((K/K_s)^{1/4} X/Y_1)^{-0.708}$

もぐり跳水については、これらを4の式代入すれば、 T_0 が X の関数として求められる。さらにこれらの摩擦速度 U_* を用いて、 $U^*/U_1 = f(X/Y_1)$ の形での無次元表示が可能となってくるであろう。

6. 総括

本実験は2種類の粗面しか行っていない。今後、さらにいくつかの粗面に関して実験を行ない、より正確な $X - \delta$ 、 $X - U$ の分布の無次元化と、その実験式を求め、より精度の高いこの算定を行なう必要があると思われる。(参考文献) Rajaratnam: "Hydraulic Jumps", "Plane Turbulent Wall Jets on Rough Boundaries" e.t.c.

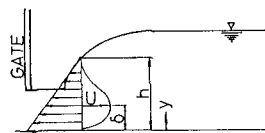


Fig 8 Hypothesis of Hydrostatic Pressure Profile in Hydraulic Jump

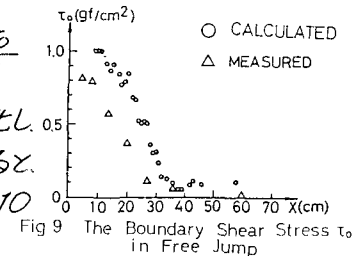


Fig 9 The Boundary Shear Stress T_0 in Free Jump

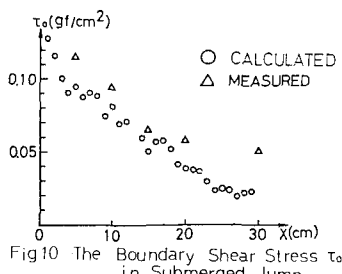


Fig 10 The Boundary Shear Stress T_0 in Submerged Jump

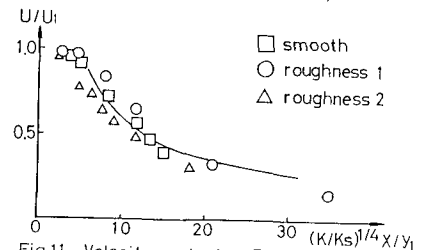


Fig 11 Velocity scale for Free Jump

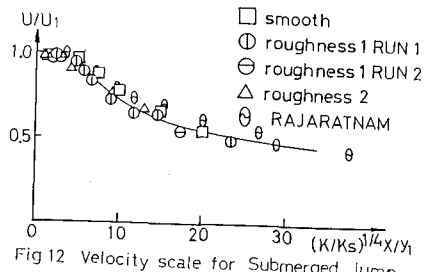


Fig 12 Velocity scale for Submerged Jump

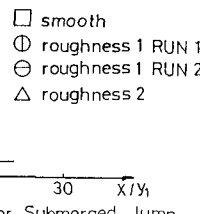


Fig 14 Length scale for Submerged Jump

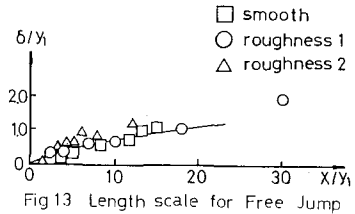


Fig 13 Length scale for Free Jump